

УПРАВЛЕНИЕ ВИДОМ МАСС-СПЕКТРА С ПОМОЩЬЮ РЕГУЛИРУЕМЫХ ДИСКРИМИНАЦИОННЫХ ЭФФЕКТОВ

Л. А. Тараненко

В практике масс-спектрометрического анализа требуются масс-спектры с разной относительной интенсивностью молекулярных и осколочных ионов. Для анализа смесей соединений по общему масс-спектру особый интерес представляют масс-спектры, состоящие только из молекулярных ионов отдельных компонентов. Поиски методов образования таких масс-спектров — одна из традиционных задач техники масс-спектрометрического анализа [1]. В настоящее время управление видом масс-спектра осуществляется с помощью методов, в которых число возможных каналов распада молекулы частично регулируется путем вариации количества энергии, переданной молекуле [2, 3]. У многоатомных соединений потенциалы ионизации молекул и потенциалы появления осколочных ионов близки по величине и для разных соединений обычно перекрываются между собой. Поэтому с помощью методов, понижающих энергию, передаваемую молекуле, не удается достичь упрощения вида масс-спектра, требуемого для анализа по пикам молекулярных ионов.

В настоящей работе [4–6] повышение относительной интенсивности молекулярных ионов достигается в условиях однократных столкновений с помощью регулируемой дискриминации осколочных и фоновых ионов и основано на отличии формы углового распределения импульсов молекулярных ионов от такой формы у осколочных и фоновых ионов. В акте ионизации электронами образовавшиеся молекулярные ионы практически не получают добавочного импульса кинетической энергии и при отсутствии отклоняющих электрических и магнитных полей сохраняют траекторию движения исходной молекулы. У осколочных ионов угловое распределение импульсов изотропно в системе центра масс. Поэтому при ионизации частиц, движущихся в виде молекулярного пучка в эквипотенциальном пространстве или в однородном электрическом поле, молекулярные ионы в пучке сохраняются, а осколочные ионы по мере удаления от области ионизации будут покидать пучок под действием добавочных импульсов, полученных при распаде молекулы.

Измерения проведены на приборе ЛКВ-9000, в стандартном ионном источнике которого установлена ионизационная камера специальной конструкции, а узел прямого ввода выполнен соосно с ионно-оптической осью прибора (рис. 1). Исследуемое вещество или смесь соединений испаряется в ампуле прямого ввода, коллимируется в молекулярный пучок и ионизируется электронами. Входное отверстие ограничивает размеры области ионизации, из которой могут быть извлечены ионы. Во входное отверстие ионы могут поступать с их начальными скоростями либо ускоренными в однородном электрическом поле, приложенном в области ионизации. В промежутке между входным и выходным отверстиями ионы дрейфуют в эквипотенциальном пространстве. Область ионизации и пространство дрейфа закрыты экранирующими металлическими сетками. После выходного отверстия расположены стандартные блок ионных линз, магнитный анализатор и регистрирующая система. Таким образом, все молекулярные ионы, образовавшиеся в ограниченной входным отверстием области иониза-

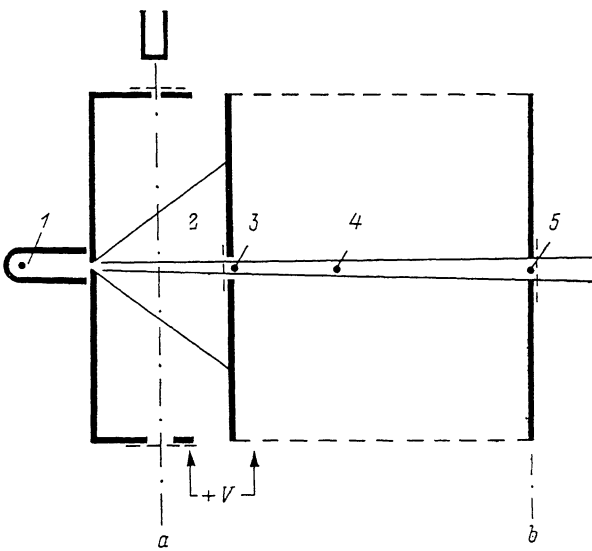


Рис. 1. Ионизационная камера.

1 — ампула с веществом, 2 — молекулярный пучок, 3 — входное отверстие, 4 — пучок регистрируемых ионов, 5 — выходное отверстие; a — ось пучка электронов, $l_{ab} = 1.6$ см, $d_1 = d_2 = 0.1$ см.

ции, покинут выходное отверстие и будут зарегистрированы. Из образовавшихся в той же области ионизации осколочных ионов только те покинут выходное отверстие, у которых векторы скоростей лежат внутри телесного угла, опирающегося на это отверстие.

Характеристики такого источника изучены на примере *H*-эйкозана. В дискриминированном масс-спектре этого соединения, полученном при энергии ионизирующих электронов 70 эВ, температуре ампулы 100—120 °С и при отсутствии в области ионизации приложенного электрического поля, молекулярный ион становится наиболее интенсивным в масс-спектре и в 10—15 раз превышает интенсивности осколочных ионов (рис. 2). В масс-спектре этого соединения, полученном на обычном ионном источнике при той же энергии электронов и близких температурных условиях, интенсивность молекулярного иона составляет величину

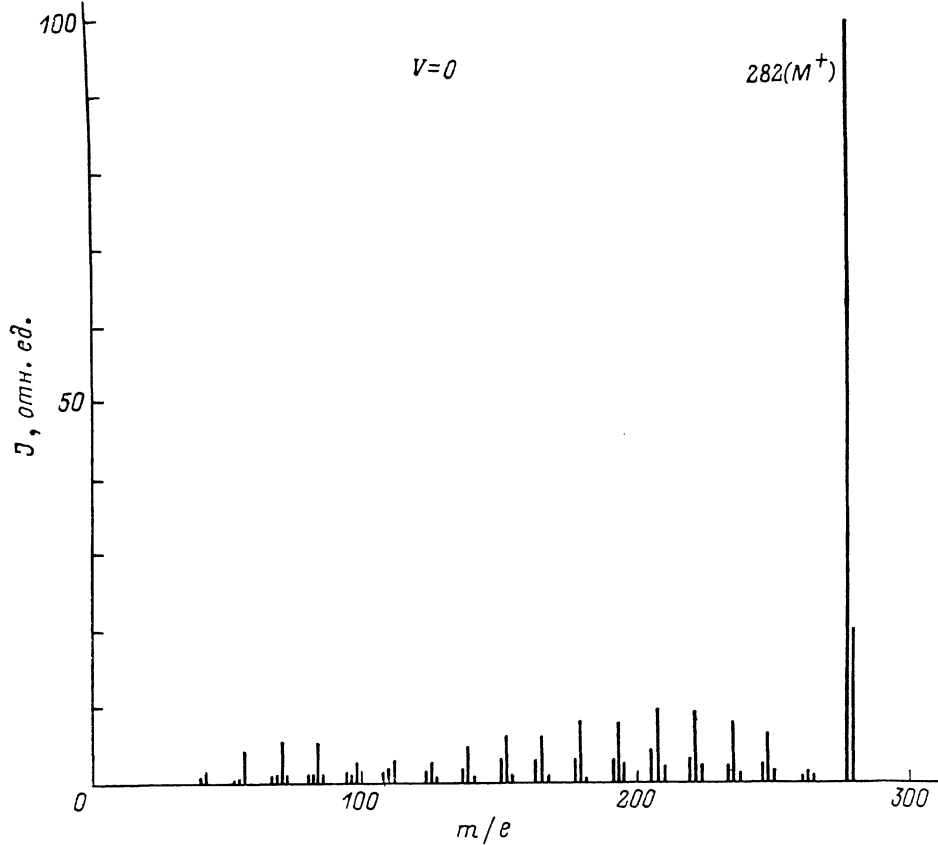


Рис. 2. Дискриминированный масс-спектр *H*-эйкозана при $V=1$.

около 1 % от интенсивности ионов с $m/e = 57$ [7]. По сравнению с обычным в дискриминированном спектре интенсивность осколочных ионов снижена до 10^3 раз.

Абсолютная и относительная интенсивности осколочных ионов могут быть регулируемым способом увеличены (для тяжелых ионов до величин, сравнимых с обычным масс-спектром) путем ускорения ионов в однородном электрическом поле в диапазоне энергий до 10 эВ.

С помощью опытов по независимости масс-спектра от давления и по отсутствию в спектре ионов $M-H$, продуктов ионно-молекулярных реакций [8] показано, что возможная роль таких реакций в образовании дискриминированного масс-спектра незаметна.

Наряду с дискриминацией осколочных ионов исследуемых соединений эффективно дискриминируются движущиеся хаотически молекулярные и осколочные ионы фонового газа. Дискриминация таких ионов изучалась на ионах атмосферного воздуха и на ионах ранее исследовавшихся веществ, десорбирующихся со стенок камеры. Дискриминированные масс-спектры практически не чувствительны к фоновому газу.

Список литературы

- [1] Бейнон Дж. Масс-спектрометрия и ее применение в органической химии. М.: Мир, 1964. С. 325—328. 702 с.
- [2] Сысоев А. А., Чупахин М. С. Введение в масс-спектрометрию. М.: Атомиздат, 1977. С. 176—241.
- [3] Орлов В. Ю., Тараненко Л. А., Гурьев М. В. // Химия высоких энергий. 1969. Т. 3. № 3. С. 195—200.
- [4] Тараненко Л. А. А. С. 951475. БИ. 1984. № 24.
- [5] Тараненко Л. А., Кобелянский П. В. // Тез. докл. III Всесоюз. конф. по масс-спектрометрии. Л., 1981. С. 175.
- [6] Tarantenko L. A., Kobelaysky R. V., Beskova G. S. // Proc. of the 11th Intern. Mass Spectrometry Conference. Bordeaux (France), 1988. P. 45.
- [7] Mass spectral data. American Petroleum Institute Research Project 44. 1958. P. 1561.
- [8] Munson M. S., Field F. U. // J. Am. Chem. Soc. 1966. Vol. 88. P. 2621—2630.

Государственный научно-исследовательский
и проектный институт азотной промышленности
и продуктов органического синтеза
Москва

Поступило в Редакцию
21 сентября 1988 г.

07; 11; 12

Журнал технической физики, т. 59, в. 10, 1989

ИСПОЛЬЗОВАНИЕ ТЕНЕВОГО МЕТОДА ДЛЯ НАБЛЮДЕНИЯ ЗА ДИНАМИКОЙ ПОВЕРХНОСТНОГО РЕЛЬЕФА ПРИ ИМПУЛЬСНОМ НАГРЕВЕ

P. A. Лиуконен, A. M. Трофименко

Наиболее распространенный метод наблюдения за изменениями рельефа поверхности металлов — интерференционный. Однако в том виде, в котором он обычно применяется, его чувствительность часто оказывается недостаточной. Для двухлучевых интерферометров она составляет $\lambda/20$ — $\lambda/50$ (λ — длина волны излучения). Основными достоинствами теневых методов являются высокая чувствительность и простота схемной реализации. Расчетная и подтвержденная экспериментально чувствительность метода ножа Фуко (разновидность теневого метода) составляет $\lambda/600$ [1], что уже сравнимо с чувствительностью многолучевых интерферометров с осциллирующим зеркалом и электронной анализирующей системой ($\lambda/500$ — $\lambda/1000$). Это относится к продольному направлению, в поперечном направлении вследствие дифракции в обоих случаях чувствительность ограничена длиной волны излучения. Основной недостаток теневых методов — это сложность количественной интерпретации результатов, их калибровка. В данной статье показано, как, используя один из возможных приемов, удалось сравнительно просто обойти эти трудности при измерениях рельефа поверхности в момент деформирования.

Схемная реализация метода весьма проста. Коллимированный пучок от точечного источника (импульсная лампа ИСП-100-2 с диафрагмой, длительность импульса 1.65 мкс) направляется на контролируемую поверхность образца. После отражения лучи проходят через оптическую систему, в фокальную область которой вводится нож Фуко, и проецируются на экран (фотопленку). Вследствие «нейдеальности» источника и оптической системы формирования пучка в плоскости ножа имеется определенное распределение интенсивности. Это, с одной стороны, приводит к уменьшению чувствительности, а с другой стороны, увеличивает рабочий диапазон, что дает возможность подобрать необходимые параметры для предполагаемых диапазонов измерений. Располагая нож вдоль оси X , можно построить функцию светопропускания $\varphi(Y)$, которая изменяется от 0 до 1 при изменении угла наклона волнового фронта ($\partial V/\partial Y$) в пределах чувствительности. В общем случае светопропускание будет

$$T\left(\frac{\partial V}{\partial Y}\right) = \begin{cases} 1, & \text{если } \frac{\partial V}{\partial Y} > \frac{r_0}{f}, \\ \varphi(Y), & \text{если } \left| \frac{\partial V}{\partial Y} \right| \leq \frac{r_0}{f}, \\ 0, & \text{если } \frac{\partial V}{\partial Y} < -\frac{r_0}{f} \end{cases} \quad (1)$$